

## 5. Mikrovlnné součástky se soustředěnými parametry

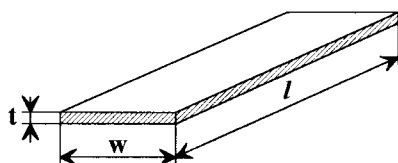
Podmínka: rozměry součástky  $< 0,1\lambda_g$ .

Výhody: - větší širokopásmovost obvodů ve srovnání se součástkami s rozloženými parametry  
- malé rozměry obvodů, vysoká integrace

Nevýhody: - nízké  $Q$  vzhledem ke ztrátám  
- kmitočtové omezení shora

### 5.1. Induktory

#### a) Plochý pásek ve volném prostoru



Obr. 5.1.1.

Pro výpočet indukčnosti bylo publikováno více vztahů.

Terman udává, [68]:

$$L = 0,2 \cdot l \cdot \left[ \ln \left( \frac{2l}{w+t} \right) + 0,5 + 0,2235 \left( \frac{w+t}{l} \right) \right] \quad [\text{nH}; \text{mm}] \quad (5.1.1)$$

Podle [9] konstanta 0,2235 mění svoji velikost od 0,22313 pro  $t=0$  do 0,22352 pro  $t=w$ .

Svačina uvádí, [7]:

$$L = 0,2 \cdot l \cdot \left[ \ln \left( \frac{2l}{w+t} \right) + \frac{w+t}{3l} + 0,50049 \right] \quad [\text{nH}; \text{mm}] \quad (5.1.2)$$

Vlivem pokovení spodní strany substrátu ve vzdálenosti  $h$  hodnota indukčnosti klesá. Chaddock, [70] viz [4], uvádí korekční faktor postihující tento vliv, kterým je nutno hodnotu indukčnosti pro volný prostor vynásobit.

$$Kg = 0,57 - 0,145 \ln(w/h) \quad (5.1.3)$$

Parazitní odpor induktoru lze určit podle [4]:

$$R = \frac{K_c \cdot R_s \cdot l}{2(w+t)} \quad (5.1.4)$$

$K_C$  je korekční faktor pro postižení vlivu zvýšené proudové hustoty v rozích pásku určený vztahem:

$$K_C = 1,4 + 0,217 \cdot \ln\left(\frac{w}{5l}\right) \quad (5.1.5)$$

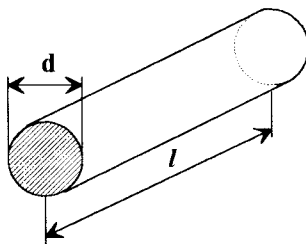
Jiný výraz pro tento faktor uvádí Wadel v [9]:

$$K_C = 1,048312 + 0,21768001 \cdot \ln\left(\frac{w}{l}\right) + 0,77176189 \cdot e^{-w/l}, \quad (5.1.6)$$

který vyhovuje pro  $1 \leq w/l \leq 100$ .

Použití pro  $L \leq 2$  nH.  $Q \approx 100$ .

#### b) Vodič kruhového průřezu ve volném prostoru



Obr. 5.1.2.

Pro výpočet indukčnosti ve volném prostoru uvádí Wadel v [9] s odvoláním na [71]:

$$L = 0,2 \cdot l \cdot \left[ \ln\left(\frac{4l}{d}\right) - 1 + \frac{d}{2l} + \frac{\mu_r \cdot T(x)}{4} \right] \quad [\text{nH; mm}] \quad (5.1.7)$$

kde  $T(x)$  postihuje vliv skinefektu.

$$T(x) = \sqrt{\frac{0,873011 + 0,00186128 \cdot x}{1 - 0,278381 \cdot x + 0,127964 \cdot x^2}} \quad (5.1.8)$$

a

$$x = 0,1 \cdot \pi \cdot d \cdot \sqrt{\frac{2 \cdot \mu \cdot f}{\sigma}} \quad [\text{mm, Hz}] \quad (5.1.9)$$

Vliv přítomnosti zemní plochy ve vzdálenosti  $h$  pod vodičem postihuje Terman, [68], vztahem:

$$L = 0,2 \cdot l \cdot \left\{ \ln\left(\frac{4h}{d}\right) + \ln\left[\frac{l + \sqrt{l^2 + d^2/4}}{l + \sqrt{l^2 + 4h^2}}\right] + \sqrt{1 + \frac{4h^2}{l^2}} - \sqrt{1 + \frac{d^2}{4l^2}} - 2\frac{h}{l} + \frac{d}{2l} \right\} [\text{nH/mm}] \quad (5.1.10)$$

Pro osamocený vodič pak uvádí:

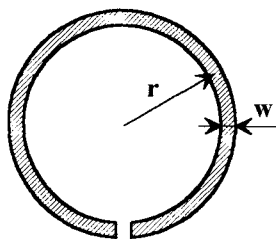
$$L = 0,2 \cdot l \cdot \left[ \ln\left(\frac{4l}{d}\right) - 1 \right] \quad [\text{nH; mm}] \quad (5.1.11)$$

Parazitní odpor vodiče:

$$R = R_s \cdot \frac{l}{\pi d} \quad (5.1.12)$$

Pro  $L \leq 2 \div 3$  nH a  $l/2r \leq 10$  je  $Q \approx 100$ .

### c) Plochá smyčka



Obr. 5.1.3.

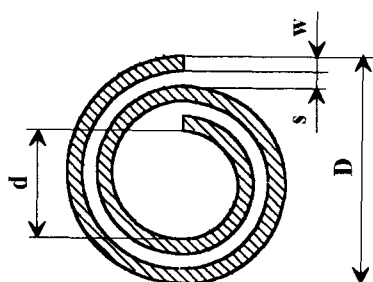
Vztah pro výpočet indukčnosti pro  $l \gg 2(w + t)$  lze nalézt v [72]:

$$L = 0,2 \cdot l \cdot \left[ \ln \left( \frac{l}{w+t} \right) - 1,76 \right] \quad [\text{nH; mm}] \quad (5.1.13)$$

kde  $l = 2\pi r$ .

$$R \approx R_s \cdot \frac{\pi a}{w+t} \quad (5.1.14)$$

### d) Kruhová spirála



Obr. 5.1.4.

Existuje řada publikovaných vztahů pro výpočet indukčnosti. Např. [68], [71], [73], [4] uvádějí vztah, který po přepočtu z tisícín palce (mils) na milimetry má podobu:

$$L = 0,3937\pi n^2 a \cdot \left[ \ln \frac{8a}{c} + \frac{1}{24} \left( \frac{c}{a} \right)^2 \cdot \left( \ln \frac{8a}{c} + 3,583 \right) - \frac{1}{2} \right] \quad [\text{nH; mm}] \quad (5.1.15)$$

kde

$$a = \frac{D+d}{4} \quad \text{tj. střední poloměr spirály} \quad (5.1.16)$$

$$c = \frac{D-d}{2} \quad (5.1.17)$$

Tento vztah zjednodušil Wheeler [74] a získal vztah, který se liší o několik procent od (5.1.15):

$$L = 39,37 \cdot \frac{n^2 a^2}{8a+11c} \quad [\text{nH; mm}] \quad (5.1.18)$$

Vztah je platný pro  $n > 1$ ,  $D > 1,2d$ ,  $t > 3\delta$ .

Burkett, [75], ho upravil do podoby:

$$L = 39,37 \cdot \frac{0,8 n^2 a^2}{6a+10c} \quad [\text{nH; mm}], \quad (5.1.19a)$$

kteřá lépe vyhovuje pro planární induktry na substrátu s pokovenou zemní plochou. Další úpravu (5.1.19a) udělal Svačina [7]:

$$L = 5 \cdot \frac{(D+d)^2 \cdot n^2}{15D-7d} \quad [\text{nH; mm}] \quad (5.1.19b)$$

kde  $D = d + 2n(w+s) + w - s$ .

Remke a Burdick [76] uvádějí pro cívku bez pokovené spodní plochy substrátu, [9]:

$$L = 2 \cdot \sum_{k=1}^{n-1} \sum_{j=k+1}^n \mu \sqrt{at} \cdot \left[ \left( \frac{2}{k_1} - 1 \right) K(k_1) - \frac{2}{k_1} E(k_1) \right] + \\ + \sum_{k=1}^n \mu (2c - w_1) \left[ \left( 1 - \frac{k_2^2}{2} \right) K(k_2) - E(k_2) \right] \quad (5.1.20)$$

kde

$$k_1 = \sqrt{\frac{4at}{(a+t)^2}}, \quad k_2 = \sqrt{\frac{4c(c-w_1)}{(2c-w_1)^2}}, \quad (5.1.21)$$

$a$  a  $c$  jsou určeny vztahy (5.1.16) a (5.1.17),  $t$  je tloušťka pokovení,  $n$  je počet závitů cívky a  $w_1 = w/2$ .

$K(k)$  a  $E(k)$  jsou úplné eliptické integrály prvního a druhého druhu, pro které Miller udává rekursivní rovnice, [77]. Platí jak již bylo dříve uvedeno  $K'(k) = K(k')$  a  $k' = \sqrt{1-k^2}$  a:

$$K(k) = \frac{\pi}{2 \cdot a_N} \quad (5.1.22)$$

kde

$$a_N = \frac{a_{N-1} + b_{N-1}}{2} \quad (5.1.23)$$

$$b_N = \sqrt{a_{N-1} \cdot b_{N-1}} \quad (5.1.24)$$

$$c_N = \frac{a_{N-1} - b_{N-1}}{2} \quad (5.1.25)$$

a

$$a_0 = 1 \quad (5.1.26)$$

$$b_0 = \sqrt{1-k^2} \quad (5.1.27)$$

$$c_0 = k \quad (5.1.28)$$

Iterace se začne s počátečními hodnotami  $a_0$ ,  $b_0$  a  $c_0$  a iteruje se dokud se nedosáhne  $c_N = 0$  s požadovanou přesností.

Pro integrál druhého druhu pak platí:  $E'(k) = E(k')$  a:

$$E(k) = F(k) \cdot \left(1 - 0,5 \cdot \sum_{n=0}^N 2^N C_n^2\right) \quad (5.1.29)$$

kde

$$F(k) = \frac{\pi}{2a_N}, \quad (5.1.30)$$

a pro  $a_N$ ,  $b_N$ ,  $c_N$ ,  $a_0$ ,  $b_0$ ,  $c_0$  platí vztahy (5.1.23) až (5.1.28). Iterace se opět začne s počátečními hodnotami a iteruje se pokud se  $c_N$  nezmění pod požadovanou hodnotu.

Pro cívku na substrátu se spodní pokovenou plochou pak Remke a Burdick uvádějí vztah:

$$\begin{aligned} L = & 2 \cdot \sum_{k=1}^{n-1} \sum_{j=k+1}^n \mu \sqrt{ab} \cdot \left[ \left( \frac{2}{k_1} - 1 \right) K(k_1) - \frac{2}{k_1} E(k_1) \right] + \\ & + \sum_{k=1}^n \mu (2c - w_1) \cdot \left[ \left( 1 - \frac{k_2^2}{2} \right) K(k_2) - E(k_2) \right] - \\ & - \sum_{i=1}^n \sum_{j=1}^n \mu \sqrt{a_R \cdot b_R} \cdot \left[ \left( \frac{2}{k_3} - 1 \right) K(k_3) - \frac{2}{k_3} E(k_3) \right] \end{aligned} \quad (5.1.31)$$

kde

$$a_R = r_i + (i - 0,5) \cdot (w + s) \quad (5.1.32)$$

$$b_R = r_j + (j - 0,5) \cdot (w + s) \quad (5.1.33)$$

$$k_3 = \sqrt{\frac{4a_R \cdot b_R}{(2h)^2 + (a_R + b_R)^2}} \quad (5.1.34)$$

$h$  je tloušťka substrátu a  $n$  je počet závitů cívky.

Vztahy platí pro kmitočty podstatně menší než je rezonance cívky.

Ztrátový odpor lze určit podle:

$$R = K_c \cdot R_s \cdot \frac{2\pi r_{st5} \cdot n}{2(w+t)} = K_c \cdot R_s \cdot \frac{\pi n(D+d)}{4(w+t)} \quad (5.1.35)$$

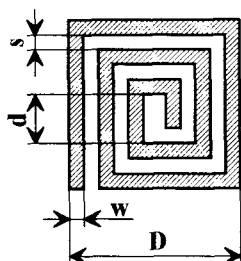
Pro činitel jakosti  $Q_0$  platí:

$$Q_0 = \frac{\omega L}{K_c \cdot R} = \frac{20\omega(w+t)}{K_c \cdot \pi R_s} \cdot \frac{n(D+d)}{15D-7d} \quad (5.1.36)$$

$K_c$  postihuje vliv povrchového jevu a empiricky je cca roven 1,5 [9].

Maximální hodnota  $Q_0$  nastává při  $D = 5d$ .

### e) Čtvercová spirála



Obr. 5.1.5.

Pro výpočet indukčnosti lze nalézt řadu vztahů. Např. Young a Sobol [72] dle [58] uvádějí:

$$L = 2,41 \cdot 3 \sqrt{n^5} \cdot a \cdot \ln\left(\frac{8a}{c}\right) \quad [\text{nH; mm}] \quad (5.1.37)$$

kde

$$a = \frac{D+d}{4}, \quad c = \frac{D-d}{2} \quad (5.1.38)$$

a  $n$  je počet závitů daný vztahem:

$$n = \frac{D}{2} \cdot \frac{1}{w+s} \quad (5.1.39)$$

Pro  $d \rightarrow 0$  a  $w=s$  lze (5.1.37) upravit na, [78]:

$$L = 0,85 \cdot \sqrt{S} \cdot n^{5/3} \quad [\text{nH; mm}] \quad (5.1.40)$$

kde  $S = D^2$  je plocha spirály.

Svačina v [7] uvádí vztah:

$$L = 6 \cdot \frac{(D+d)^2 \cdot n^2}{15D-7d} \quad [\text{nH; mm}] \quad (5.1.41)$$

kde  $D = d + 2n(w+s) + w - s$

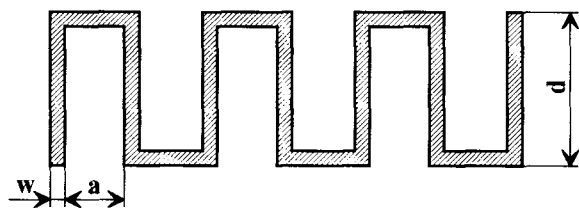
Maximální činitel jakosti  $Q_0$  nastává při  $D = 5d$ .

Další vyjádření indukčnosti  $n$ -závitové čtvercové spirály lze nalézt v [9] čerpajícím z [79] a [80].

Pro jednozávitovou čtvercovou cívku uvádí Wadel [9] vztah:

$$L = 1,84 \cdot D \cdot \left\{ \log \left[ \frac{2D^2}{(D + \sqrt{2} D) \cdot (w+t)} \right] \right\} + 0,4 \left[ 2\sqrt{2} D - D + 0,447(w+t) \right] \quad [\text{nH; mm}] \quad (5.1.42)$$

### f) Meandrový induktor



Obr. 5.1.6.

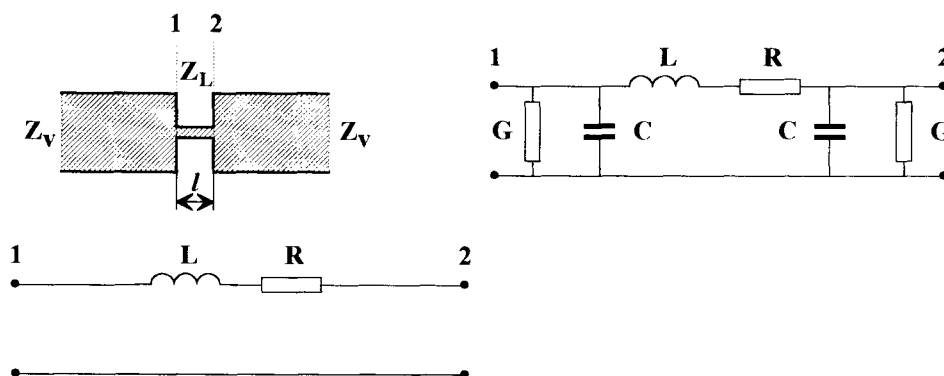
Pro výpočet indukčnosti uvádí Svačina [7]:

$$L = 0,1 \cdot d \cdot \left[ 4 \cdot n \cdot \ln \frac{2(a+w)}{w} - K_n \right] \quad [\text{nH; mm}] \quad (5.1.43)$$

kde  $n$  je počet úseků délky  $d$ . Pro konstantu  $K_n$  pak platí:

$n$	2	3	4	5	6	7	8	9	10
$K_n$	2,76	3,92	6,22	7,60	9,7	10,92	13,38	14,92	16,86

### g) Sériový induktor z krátkého úseku vedení



Obr. 5.1.7.

Předpoklad:  $Z_L \gg Z_V$ ,  $l \ll \lambda_g$ . Pro indukčnost vzhledem k (2.5.1) platí:

$$L = \frac{Z_L \cdot l}{v_f} = \frac{Z_L \cdot l \cdot \sqrt{\epsilon_{ef}}}{c} \quad (5.1.44)$$

Ztrátový odpor je vzhledem k (2.5.20), (2.5.22) a (2.5.23) určen vztahem:

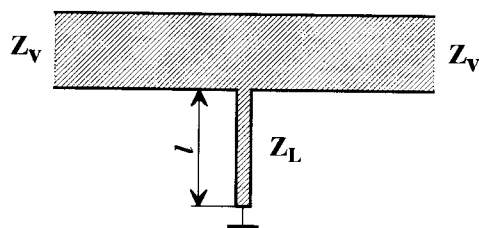
$$R = 2\beta_c \cdot Z_L \cdot l \quad (5.1.45)$$

$$Q_0 = \frac{\omega L}{R} = \frac{\omega \sqrt{\epsilon_{ef}}}{2\beta_c \cdot c} \quad (5.1.46)$$

Soustředěný charakter prvku platí do  $l \leq \lambda_g/25$ , [7], tedy do kmitočtu

$$f_{\max} = \frac{c}{25 \cdot l \cdot \sqrt{\epsilon_{ef}}} \quad (5.1.47)$$

#### h) Paralelní induktor z krátkého úseku vedení



Obr. 5.1.8.

Předpoklad:  $Z_L \gg Z_v$ ,  $l \ll \lambda_g$

$$L = \frac{Z_L \cdot l \cdot \sqrt{\epsilon_{ef}}}{c} \quad (5.1.48)$$

$$R = 2 \cdot \beta_c \cdot Z_L \cdot l \quad (5.1.49)$$

Prvek má soustředěný charakter do  $l \ll \lambda_g/32$ , [7], tedy do frekvence:

$$f_{\max} = \frac{c}{32 \cdot l \cdot \sqrt{\epsilon_{ef}}} \quad (5.1.50)$$

Indukčnost zkratu: - prokovená díra  
- pásek na hraně substrátu

Pro výpočet možno použít vztahy z kap. 5.1. a) a 5.1. b). Přesnější vztahy odvodil Goldfarb a Pucel, [81]:

$$L_{\text{via}} = \frac{\mu_0}{2\pi} \left[ h \cdot \ln \left( \frac{h + \sqrt{r^2 + h^2}}{r} \right) + 1,5 \cdot \left( r - \sqrt{r^2 + h^2} \right) \right] \quad (5.1.51)$$

kde  $h$  je tloušťka substrátu a  $r$  je poloměr prokovené díry.

Pro parazitní odpor prokovené díry pak uvádějí:

$$R = R_{ss} \cdot \sqrt{1 + \frac{f}{f\delta}} \quad (5.1.52)$$

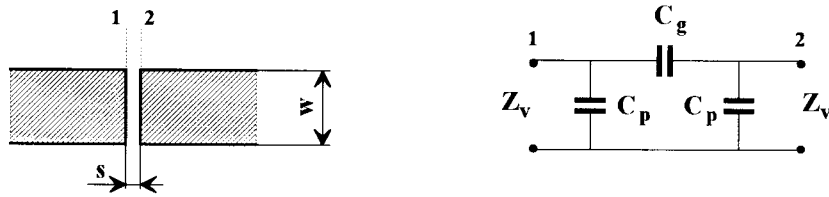
kde

$$f\delta = \frac{1}{\pi \mu_0 \sigma_c \cdot t^2} \quad (5.1.53)$$



## 5.2. Kapacitory

### a) Mezera v mikropásku



Obr. 5.2.1

Pro hodnoty kapacit náhradního obvodu uvádí Gupta v [4]:

$$C_p = 0,5C_e \quad (5.2.1)$$

$$C_g = 0,5.(C_o - 0,5C_e) \quad (5.2.2)$$

Pro substrát s  $\epsilon_r = 9,6$  a  $0,5 \leq w/h \leq 2$  pak platí:

$$C_e = w \cdot \left(\frac{s}{w}\right)^{m_e} \cdot e^{k_e} \quad [\text{pF}; \text{m}] \quad (5.2.3)$$

$$C_o = w \cdot \left(\frac{s}{w}\right)^{m_o} \cdot e^{k_o} \quad [\text{pF}; \text{m}] \quad (5.2.4)$$

kde

$$m_e = 0,8675, \quad k_e = 2,043 \cdot \left(\frac{w}{h}\right)^{0,12} \quad \text{pro} \quad 0,1 \leq \frac{s}{w} \leq 0,3$$

$$m_e = \frac{1,565}{\left(\frac{w}{h}\right)^{0,16}} - 1, \quad k_e = 1,97 - \frac{0,03}{w/h} \quad \text{pro} \quad 0,3 \leq \frac{s}{w} \leq 1$$

$$m_o = \frac{w}{h} \cdot \left(0,619 \cdot \log \frac{w}{h} - 0,3853\right) \quad \text{pro} \quad 0,1 \leq \frac{s}{w} \leq 1$$

$$k_o = 4,26 - 1,453 \cdot \log \frac{w}{h} \quad \text{pro} \quad 0,1 \leq \frac{s}{w} \leq 1$$

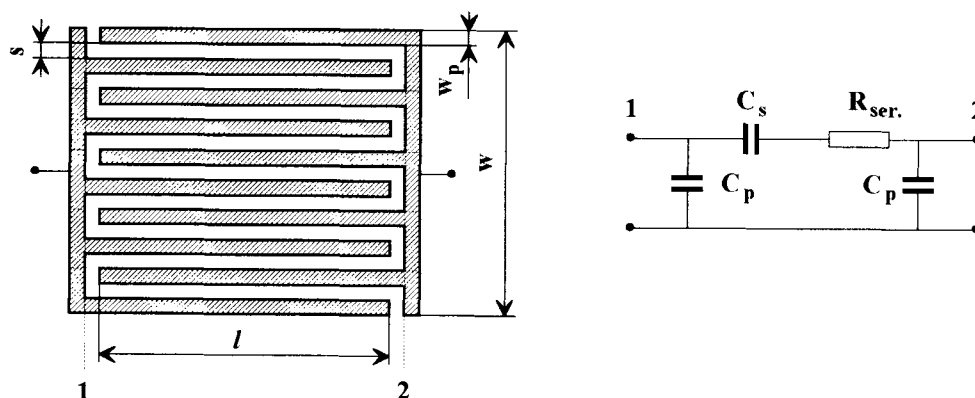
Pro jiné hodnoty  $\epsilon_r$  z intervalu  $2,5 \leq \epsilon_r \leq 15$  pak lze určit  $C_o$  a  $C_e$  podle:

$$C_e(\epsilon_r) = C_e(\epsilon_r = 9,6) \cdot \left(\frac{\epsilon_r}{9,6}\right)^{0,9} \quad (5.2.5)$$

$$C_o(\epsilon_r) = C_o(\epsilon_r = 9,6) \cdot \left(\frac{\epsilon_r}{9,6}\right)^{0,8} \quad (5.2.6)$$

Další vztahy lze nalézt v [82], frekvenčně závislý model postihující ztráty vyzařováním je popsán v [83].

## b) Interdigitální kapacitor



Obr. 5.2.2. Interdigitální desetiprstový kapacitor.

Strukturu analyzoval Alley, [84]. Pro  $w_p = s = x$  odvodil:

$$C_s = \frac{\epsilon_r + 1}{w} \cdot l \cdot [(n - 3) \cdot A_1 + A_2] \quad [\text{pF}; \text{mm}] \quad (5.2.7)$$

$$R_{ser.} = \frac{4 \cdot l \cdot R_s}{3 w_p \cdot n} \quad (5.2.8)$$

kde  $n$  je počet prstů kapacitoru.

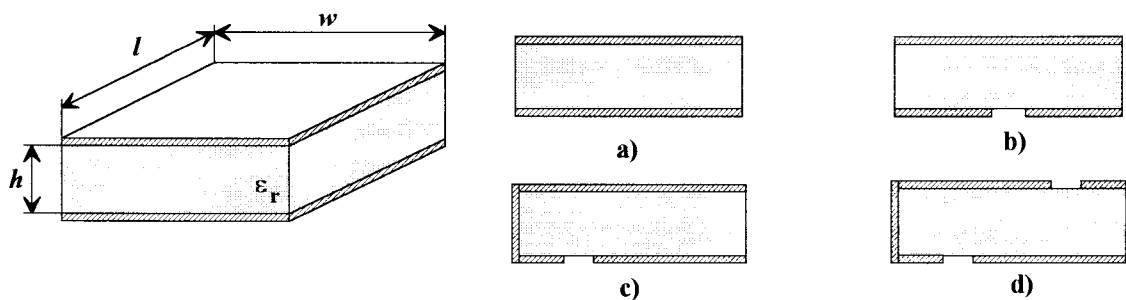
Konstanty  $A_1$  a  $A_2$  udává Alley ve formě grafu. Wadel v [9] aproximuje grafy analytickým výrazem, který je však v důsledku tiskové chyby nesprávný. Opravené aproximace vyhovující grafům v [84] jsou:

$$A_1 = \frac{1}{25,4} \cdot \left[ 0,3349057 - 0,15287116 \cdot \left( \frac{h}{x} \right)^{-1} \right]^2 \quad [\text{pF}; \text{mm}] \quad (5.2.9)$$

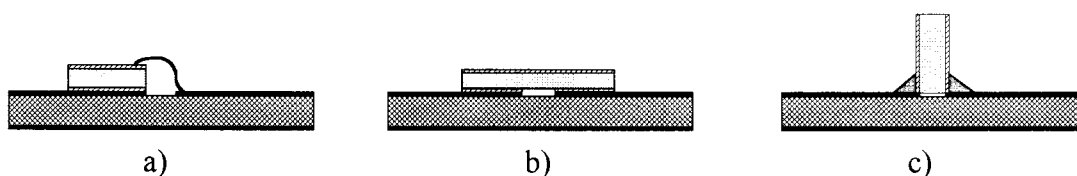
$$A_2 = \frac{1}{25,4} \cdot \left[ 0,50133101 - 0,22820444 \cdot \left( \frac{h}{x} \right)^{-1} \right]^2 \quad [\text{pF}; \text{mm}] \quad (5.2.10)$$

Vztahy jsou platné pro  $3 \leq h/x \leq \infty$ . Spodní plocha substrátu je pokovená.

### c) Jednovrstvé kondenzátory MIM



Obr. 5.2.3. Jednovrstvé kondenzátory MIM v různém provedení.



Obr. 5.2.4. Způsoby montáže kondenzátorů MIM.



Obr. 5.2.5. Náhradní obvod.

$$Z_{\text{vst.}} = Z_v \cdot \coth \gamma l \quad (5.2.11)$$

Pro  $l \ll \lambda_g$  je:

$$Z_{\text{vst.}} \cong Z_v \cdot \frac{1}{\gamma l} + \frac{1}{3} Z_v \cdot \gamma l = R_1 + R_2 + \frac{1}{j\omega C} \quad (5.2.12)$$

kde

$$R_1 = \frac{2}{3} \cdot R_s \cdot \frac{l}{w} \quad \text{ztráty ve vodičích} \quad (5.2.13)$$

$$R_2 = \frac{\text{tg} \delta}{\omega C} \quad \text{ztráty v dielektriku} \quad (5.2.14)$$

$$C = \epsilon_r \cdot \epsilon_0 \frac{w \cdot l}{h} \quad (5.2.15)$$

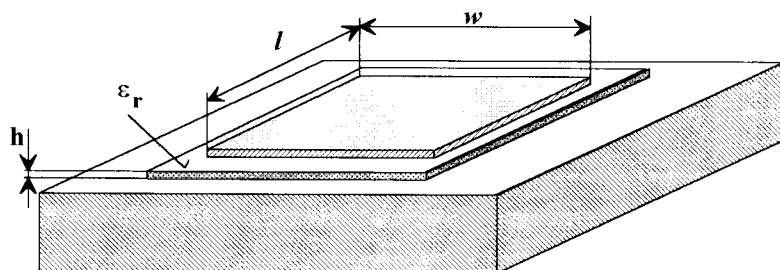
Činitel jakosti

$$\text{- ztráty ve vodičích} \quad Q_v = \frac{1}{\omega R_1 C} = \frac{3h}{2\omega \epsilon_r \epsilon_0 R_s \cdot l^2} \quad (5.2.16)$$

- ztráty v dielektriku  $Q_d = \frac{1}{\omega R_2 C} = \frac{1}{\tan \delta}$  (5.2.17)

- celkově  $Q_c = \frac{1}{\omega(R_1 + R_2) \cdot C} = \frac{Q_v \cdot Q_d}{Q_v + Q_d}$  (5.2.18)

#### d) Jednovrstvé kondenzátory MIS



Obr. 5.2.6.

Rozptylové pole na hranách horní elektrody.

$$C = \frac{\epsilon_r \cdot \epsilon_0 \cdot w \cdot l}{h} + C_{e1} + C_{e2} \quad (5.2.19)$$

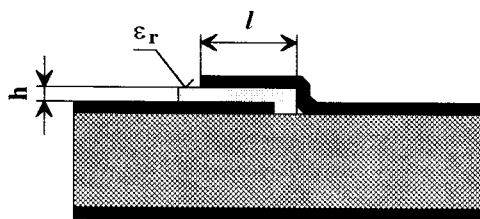
kde  $C_{e1}$  a  $C_{e2}$  jsou rozptylové kapacity na hranách kondenzátoru určené, [4]:

$$C_{e1} = \left[ \frac{1}{v_{f1} \cdot Z_{v1}(w, h, \epsilon_r)} - \frac{\epsilon_r \cdot \epsilon_0 \cdot w}{h} \right] \cdot l \quad (5.2.20)$$

$$C_{e2} = \left[ \frac{1}{v_{f2} \cdot Z_{v2}(l, h, \epsilon_r)} - \frac{\epsilon_r \cdot \epsilon_0 \cdot l}{h} \right] \cdot w \quad (5.2.21)$$

Montáž viz obr. 5.2.4 a).

#### e) Tenkovrstvý kapacitor



Obr. 5.2.7.

Kapacitu lze určit podle (5.2.19) až (5.2.21), případně Hurt uvádí, [85], viz [9]:

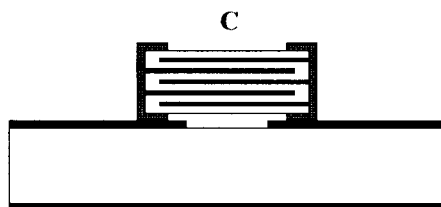
$$C = \frac{\epsilon_r \cdot \epsilon_0 \cdot (l + \Delta f) \cdot (w + \Delta f)}{h} \quad (5.2.22)$$

kde

$$\Delta f = \frac{4h \cdot \ln 2}{\pi} \quad (5.2.23)$$

postihuje rozptylové pole.

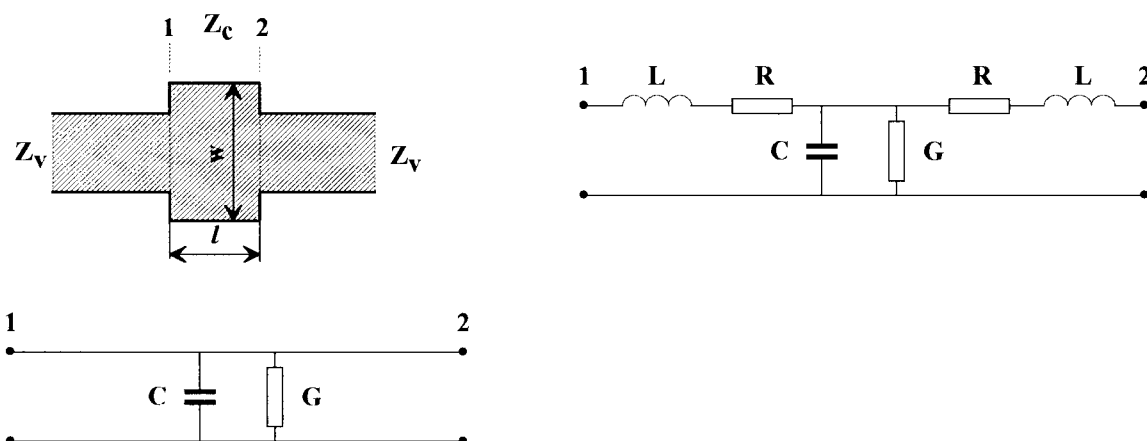
#### f) SMD kapacitor



Obr. 5.2.8.

Mnohavrstvá periodická struktura. Na vyšších kmitočtech má charakter vedení buzeného ze strany mezery v mikropásku. Na vyšších kmitočtech vykazuje mnohonásobné rezonance, první rezonance je paralelní. Možnost horizontální a vertikální montáže.

#### g) Kapacitor z krátkého úseku vedení



Obr. 5.2.9.

Předpoklad:  $Z_{vC} \ll Z_v$  a  $l \ll \lambda_g$ .

Pro kapacitu vzhledem k (2.5.1) platí:

$$C = \frac{l}{v_f \cdot Z_{vC}} = \frac{l \cdot \sqrt{\epsilon_{ef}}}{c \cdot Z_{vC}} \quad (5.2.24)$$

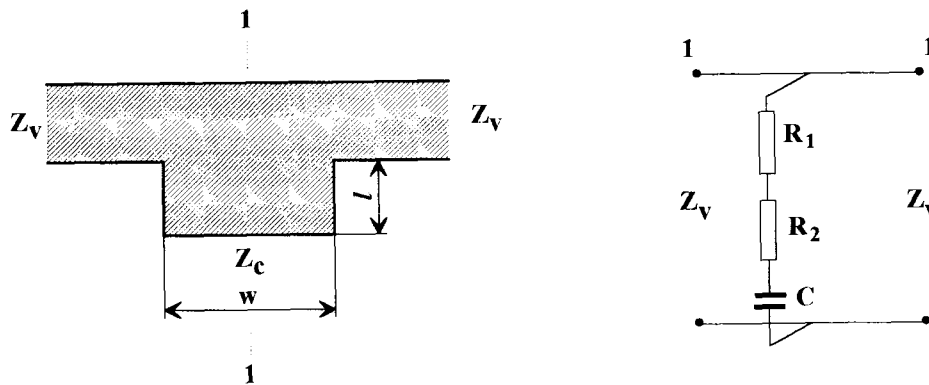
$$G = 2 \cdot \beta_d \cdot Y_{vC} \cdot l = \frac{2\beta_d}{Z_{vC}} \quad (5.2.25)$$

$$Q_0 = \frac{\omega C}{G} = \frac{\omega \sqrt{\epsilon_{ef}}}{2\beta_d \cdot c} \quad (5.2.26)$$

Soustředěnost parametrů platí do  $l \leq \lambda_g/25$ , [7], tedy do kmitočtu:

$$f_{\max} = \frac{c}{25 \cdot l \cdot \sqrt{\epsilon_{ef}}} \quad (5.2.27)$$

#### h) Kapacitní pahýl



Obr. 5.2.10.

Předpoklad:  $Z_{vC} \ll Z_v$  a  $l \ll \lambda_g$ . Jedná se o paralelně připojený kondenzátor MIM. Proto, [7]:

$$C = \frac{l}{v_f \cdot Z_{vC}} = \frac{l \cdot \sqrt{\epsilon_{ef}}}{c \cdot Z_{vC}} \quad (5.2.28)$$

Parazitní parametry:

$$R_1 = \frac{2}{3} \cdot \beta_c \cdot Z_{vC} \cdot l \quad (5.2.29)$$

$$R_2 = \frac{2 \cdot \beta_d \cdot l}{\omega^2 \cdot C^2 \cdot Z_{vC}} \quad (5.2.30)$$

Činitel jakosti:

$$\text{- ztráty ve vodičích} \quad Q_v = \frac{1}{\omega R_1 C} = \frac{3c}{2\omega \cdot \beta_c \cdot \sqrt{\epsilon_{ef}} \cdot l^2} \quad (5.2.31)$$

$$\text{- ztráty v dielektriku} \quad Q_d = \frac{1}{\omega R_2 C} = \frac{\omega \sqrt{\epsilon_{ef}}}{2c \cdot \beta_d} \quad (5.2.32)$$

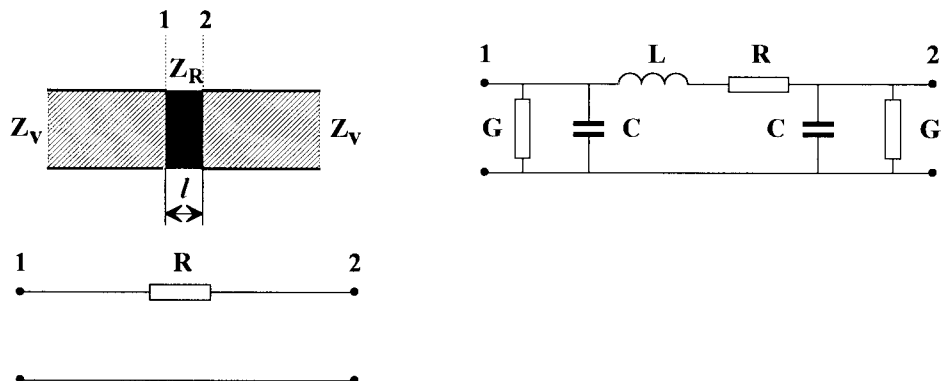
$$\text{- celkově} \quad Q_c = \frac{1}{\omega(R_1 + R_2) \cdot C} = \frac{Q_v \cdot Q_d}{Q_v + Q_d} \quad (5.2.33)$$

Soustředěnost parametrů platí do  $l \leq \lambda_g/7$ , tedy do kmitočtu:

$$f_{\max} = \frac{c}{7 \cdot l \cdot \sqrt{\epsilon_{ef}}} \quad (5.2.34)$$

### 5.3. Rezistory

#### a) Krátký úsek odporového vedení



Obr. 5.3.1.

Předpoklad:  $Z_{vR} \approx Z_v$  a  $l \ll \lambda_g$ . Potom:

$$R = \frac{1}{\sigma_r} \cdot \frac{l}{w \cdot t_r} = R_{sqr} \cdot \frac{l}{w} \quad (5.3.1)$$

kde

$$R_{sqr} = \frac{1}{\sigma_r \cdot t_r} \quad [\Omega / \square] \quad (5.3.2)$$

je povrchový odpor s rozměrem ohm na čtverec.

Tloušťka odporové vrstvy  $t_r$  je cca 0,1  $\mu\text{m}$ .

$$t_r \ll \delta = \sqrt{\frac{2}{\omega \mu \sigma_r}} \quad (5.3.3)$$

Parazitní parametry.

$$L = \frac{Z_{vR} \cdot l \cdot \sqrt{\epsilon_{ef}}}{c} \quad (5.3.4)$$

$$C = \frac{l \cdot \sqrt{\epsilon_{ef}}}{2c \cdot Z_{vR}} \quad (5.3.5)$$

$$G = \frac{\beta_d \cdot l}{Z_{vR}} \quad (5.3.6)$$

Soustředěnost parametrů platí do, [7],  $l \ll \lambda_g/25$ , tedy do kmityčtu:

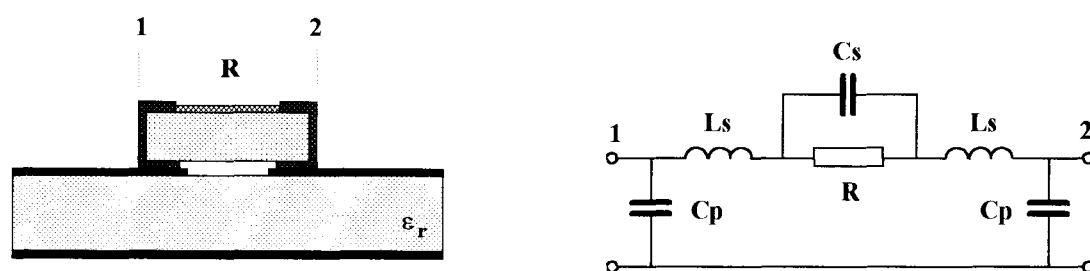
$$f_{\max} = \frac{c}{25 \cdot l \cdot \sqrt{\epsilon_{ef}}} \quad (5.3.7)$$

Ztrátový výkon tenkovrstvých rezistorů je cca 0,5 W.

Materiály používané na tenké odporové vrstvy, [7].

Materiál	$\rho_v [10^{-6} \cdot \Omega \text{m}]$	$R [\Omega/\square]$	TKR [ $10^{-6} \cdot 1/^\circ\text{C}$ ]
Cr	13	1,5	3 000
Ti	55-135	10	25 000
Ta	180/220		- 100 ÷ 500
NiCr	60 ÷ 600	90	200
Ta <sub>2</sub> N	300	90	- 50 ÷ -110
Cerment Cr-Si	$10^3 - 10^5$	50 ÷ 500	- 300 ÷ 100

### b) SMD odpor



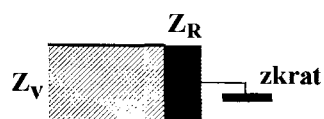
Obr. 5.3.2.

Vysokofrekvenční vlastnosti prvku jsou ovlivněny způsobem montáže. Hoffman [86] odvodil náhradní obvod rezistoru velikosti 0805 pro standardní montáž, obrácenou montáž s odporovou vrstvou směrem k substrátu a montáž s rezistorem položeným na bok kolmo k substrátu. Hodnoty prvků náhradního obvodu jsou platné do 12 GHz pro rozsah hodnot odporu 1  $\Omega$  až 1 M $\Omega$ .

Tab. 5.3.1.

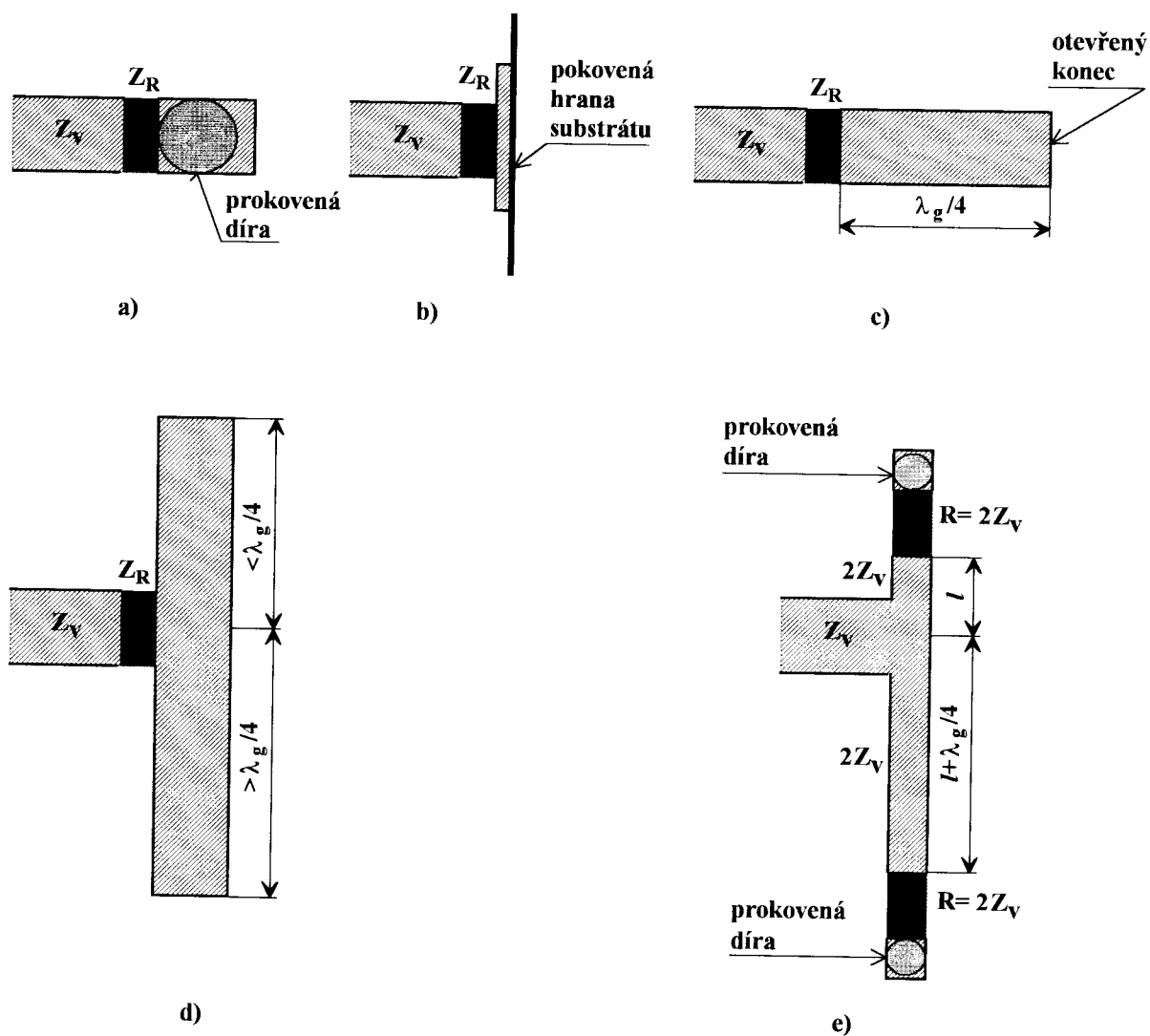
montáž	R [ohm]	Ls [nH]	Cp [pF]	Cs [pF]
standardní	$1 \div 1 \cdot 10^6$	0,45	0,070	0,055
obrácená	$1 \div 1 \cdot 10^6$	0,33	0,080	0,055
na boku	$1 \div 1 \cdot 10^6$	0,48	0,065	0,055

### c) Přizpůsobená zátěž



Obr. 5.3.3.





Obr. 5.3.4. Různé realizace přizpůsobených zátěží.

Realizace zkratu a přizpůsobené zátěže.

- a) prokovená díra
- b) zkrat na hraně substrátu
- c) zkrat pomocí úseku vedení  $\lambda_g/4$
- d) realizace širokopásmového zkratu
- e) navzájem se kompenzující zbytkové odrazy